

© Андроненко С. И. \*\*, Андроненко Р. Р. \*, Загребельный О. А. \*\*

## ИЗУЧЕНИЕ МЕТОДОМ ЭПР ТВЕРДЫХ РАСТВОРОВ

$\text{La}_{1-0.33y}\text{Ba}_{0.33y}\text{Mn}_y\text{Al}_{1-y}\text{O}_3$  ( $y = 0.02, 0.04, 0.10$ )

\* Институт химии силикатов им. И. В. Гребеникова РАН,  
Россия, 199034, Санкт-Петербург, наб. Макарова, 2,  
e-mail: gpcj@isc.nw.ru

\*\* Казанский государственный университет,  
Россия, 420008, Казань, ул. Кремлевская, 18

Твердый раствор  $\text{La}_{1-0.33y}\text{Ba}_{0.33y}\text{Mn}_y\text{Al}_{1-y}\text{O}_3$  ( $y = 0.02, 0.04, 0.10$ ), приготовленный по керамической методике, исследован методом ЭПР при температурах 77 и 300 К.

Из сравнения с рассчитанными наблюдаемые спектры интерпретированы как принадлежащие ионам  $\text{Mn}^{2+}$  (при  $T = 77$  К  $g = 2.04$ ; ширина линии  $\Delta H_{pp} = 64 \cdot 10^{-4}$  Т) и  $\text{Mn}^{4+}$  (при  $T = 77$  К  $g = 1.97$ ;  $\Delta H_{pp} = 76 \cdot 10^{-4}$  Т); широкая линия ( $T = 77$  К  $\Delta H_{pp} = 500 \cdot 10^{-4}$  Т) соответствует кластерам. Разбавление ионов марганца, происходящее при растворении  $\text{La}_{0.67}\text{Ba}_{0.33}\text{MnO}_3$  в  $\text{LaAlO}_3$ , позволило проследить за образованием кластеров и спиновой динамикой ионов Mn. При комнатной температуре по сравнению с системой, в которой замещающим элементом был ион с меньшим ионным радиусом  $\text{Sr}^{2+}$ , локализованные состояния устойчивее для всех трех концентраций марганца (линии ЭПР интенсивнее). Кластеры  $\text{La}_{0.67}\text{Ba}_{0.33}\text{MnO}_3$ , растворенные в  $\text{LaAlO}_3$ , сохраняют некоторые свойства концентрированного соединения даже при разбавлении до  $y = 0.02$ .

Ключевые слова: мanganиты, магнитный резонанс, ЭПР, парамагнитные центры  $\text{Mn}^{2+}, \text{Mn}^{4+}$ .

**Введение.** Многочисленные исследования замещенных перовскитов  $\text{La}_{1-x}\text{A}_x\text{MnO}_3$  (A — двухвалентный ион щелочноземельного металла, в данной работе  $x = 0.33y$ ) позволили убедиться, что ион A влияет на симметрию соединения [1], а его ионный радиус  $R_A$  — на степень отклонения от идеального кубического перовскита. При уровне допирования  $x = 0.33$  эти соединения при низких температурах ферромагнитны и при повышении температуры испытывают фазовый переход к парамагнитному состоянию (температура Кюри  $T_C$  близка к комнатной). Этот переход сопровождается переходом металл-изолятор и сильно зависит от величины магнитного поля, в которое помещен образец. Замечено, что с ростом  $x$   $T_C$  повышается. Ферромагнитное состояние соответствует области низких температур ( $T < T_C$ ). В магнитном поле вблизи фазового перехода наблюдается возникновение колossalного магнетосопротивления (КМС). Величина магнетосопротивления зависит от структурных искажений, размера частиц и других факторов (например, внешнего магнитного поля, как указывалось выше). Замещение иона  $\text{La}^{3+}$  щелочноземельными ионами может вызвать изменения в магнитных свойствах и появление фазового расслоения вследст-

Поступило 26 октября 2009 г.

вие разницы ионных радиусов (ионный радиус  $R_{\text{Ba}} = 1.74 \text{ \AA}$  по сравнению с радиусами ионов  $\text{Sr}^{2+}$  ( $1.44 \text{ \AA}$ ),  $\text{Ca}^{2+}$  ( $0.99 \text{ \AA}$ ),  $\text{La}^{3+}$  ( $1.46 \text{ \AA}$ ) [2]).

Перспективность использования мanganитов и замещенных мanganитов при создании технических устройств определяет повышенный интерес к этим объектам, так как они являются ферромагнетиками со спиновой поляризацией, близкой к 100 %, и при оптимальном уровне допирования ( $x = 0.33$ ) проявляют КМС. Например, при создании магнитных контактов — основного элемента устройств спинтранники, в которых манипуляции производятся не с зарядовым, а со спиновым состоянием системы, что приводит к изменению подвижности зарядов [3]. Стабильность физических свойств, а также удобный температурный диапазон являются целью при создании материалов. С точки зрения фундаментальных исследований представляет интерес изучение природы возникновения фазового расслоения, образование кластеров и изолированных состояний. Решение этой задачи позволит выбрать технологию получения материала. Конечная цель исследования перовскитоподобных мanganитов — получение образцов с температурой, при которой наблюдается КМС, близкой к комнатной температуре. В то же время особенности электронного состояния Mn удобнее изучать при его разбавлении в диамагнитной матрице.

В работе [4] проведено исследование образцов  $\text{LaMnO}_3 + \delta$  и  $\text{La}_{1-y}\text{Ba}_y\text{MnO}_3 + \delta$  с небольшим отклонением содержания Mn сверх стехиометрического состава, проанализировано влияние состава на величины  $T_A$  (температура перехода в антиферромагнитное состояние) и  $T_C$  — температуру Кюри. Образцы  $\text{La}_{0.67}\text{Ba}_{0.33}\text{MnO}_3$  имеют температуру Кюри 343 К, по данным авторов [5, 6]. Авторы [6] отмечают, что КМС обя зано спин-зависимому рассеянию на границе ферромагнитная—немагнитная области. Соревнование двух обменов (сверхобмена и двойного обмена) приводит к возмущенному состоянию спиновой решетки в области перехода ферромагнетик—парамагнетик. Возникающие динамические флуктуации при наличии узкой  $d$ -зоны проводимости ведут к локализации магнитных примесей и образованию магнитных полярона, которые, в свою очередь, участвуют в прыжковом процессе.

При  $T > T_C$  дальний ферромагнитный порядок разрушается, что совпадает с данными других авторов [7]. В [8, 9] высказывается мнение о том, что для объяснения наблюдавшихся свойств в мanganитах недостаточно механизма двойного обмена и предполагается необходимость включения влияния решетки через образование полярона. Как только система становится металлической ( $T < T_C$ ), носители заряда становятся делокализованными, и полярон исчезает.

По мнению авторов [10], трехмерное сжатие кристаллической решетки увеличивает амплитуду вероятности перескока в модели двойного обмена, что приводит к повышению температуры Кюри; двуосные ян-теллеровские искажения способствуют локализации, температура Кюри понижается. Учитывая вышеизложенные соображения, мы полагаем, что замена  $\text{La}^{3+}$  на более крупный ион  $\text{Ba}^{2+}$  должна вести к расширению решетки. Вследствие этого ожидается уменьшение амплитуды вероятности перескока в модели двойного обмена, что должно вызывать понижение температуры Кюри  $T_C$ .

Цель данного исследования — изучить методом ЭПР разбавленные по марганцу твердые растворы  $\text{La}_{1-y}\text{Ba}_{0.33-y}\text{Mn}_y\text{Al}_{1-y}\text{O}_3$  ( $y = 0.02, 0.04, 0.1$ ). Мы предполагаем исследовать влияние концентрации ионов марганца при низких температурах (77 К) и при комнатной температуре (300 К) на относительный вклад кластеров и изолированных состояний в магнетизм рассматриваемых соединений, а также определить электронные состояния ионов Mn в указанной системе.

**Экспериментальная часть.** Синтез образцов  $\text{La}_{1-y}\text{Ba}_{0.33-y}\text{Mn}_y\text{Al}_{1-y}\text{O}_3$ , где  $y = 0.02, 0.04, 0.1$ , выполнен по стандартной керамической методике, описанной в [11]. Измерения спектров ЭПР проводили на ЭПР спектрометре РЭ-1306 при частоте 9.4 ГГц и температурах 300 и 77 К. Порошкообразные образцы помещали в квар-

цевые трубы диаметром 2—3 мм. Трубы и порошок  $\text{LaAlO}_3$  предварительно исследовали с целью определения их «чистоты» в отношении посторонних сигналов ЭПР. Посторонние сигналы ЭПР отсутствовали. Ширина линии  $\Delta H_{\text{pp}}$  измерялась между максимумом и минимумом первой производной сигнала ЭПР (поглощения).

*Спектры ЭПР и их интерпретация.* Экспериментальные спектры ЭПР (ЭСР) синтезированных образцов  $\text{La}_{1-0.33y}\text{Ba}_{0.33y}\text{Mn}_y\text{Al}_{1-y}\text{O}_3$  представлены на рис. 1 для  $T = 77 \text{ K}$ , на рис. 2 — для  $T = 300 \text{ K}$ . Рис. 3 содержит экспериментальный спектр образца с  $y = 0.02$  для  $T = 77 \text{ K}$  и рассчитанный с константами спин-гамильтониана, значения которых представлены в таблице. Рис. 4 соответствует экспериментальному и рассчитанному спектрам ЭПР для  $y = 0.02$  и температуры  $T = 300 \text{ K}$ , значения констант приведены в таблице.

Обычно в спин-гамильтониане ограничиваются членами вида  $B_2^0 O_2^0 + B_2^2 O_2^2$  ( $B_2^0$ ,  $B_2^2$  — параметры кристаллического поля), так как эти параметры являются наибольшими для низкосимметричных узлов решетки и только они учитываются в расчетах. В связи с этим для описания спектров ионов Mn в искаженном октаэдрическом окружении (по сравнению с кубической симметрией в порошках) допустимо использование обобщенного спин-гамильтониана ромбической симметрии, предложенного в [12]

$$\begin{aligned} H_S = g\mu_B \mathbf{B} \cdot \mathbf{S} + D[S_z^2 - (1/3)S(S+1)] + E[S_x^2 - S_y^2] + \\ + A_x I_x S_x + A_y I_y S_y + A_z I_z S_z. \end{aligned} \quad (1)$$

Здесь  $g$  —  $g$ -фактор или фактор Ланде,  $\mu_B$  — магнетон Бора,  $\mathbf{B}$  — внешнее магнитное поле,  $\mathbf{S}$  — электронный спин ионов Mn, а  $S_i$  — его диагональные компоненты ( $i = x, y, z$ ),  $S = 3/2$  ( $\text{Mn}^{4+}$ ) и  $S = 5/2$  ( $\text{Mn}^{2+}$ ),  $D = 3B_2^0 = b_2^0$ ,  $E = B_2^2 = b_2^2/3$  — параметры

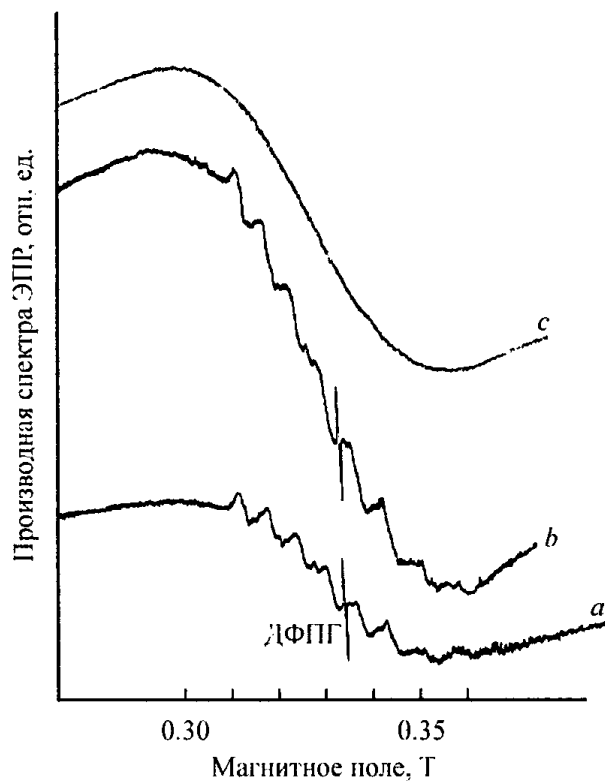


Рис. 1. Спектры ЭПР твердых растворов  $\text{La}_{1-0.33y}\text{Ba}_{0.33y}\text{Mn}_y\text{Al}_{1-y}\text{O}_3$  ( $T = 77 \text{ K}$ ) концентрации марганца, мол. дол.:  $y = 0.02$  (a),  $y = 0.04$  (b),  $y = 0.10$  (c).

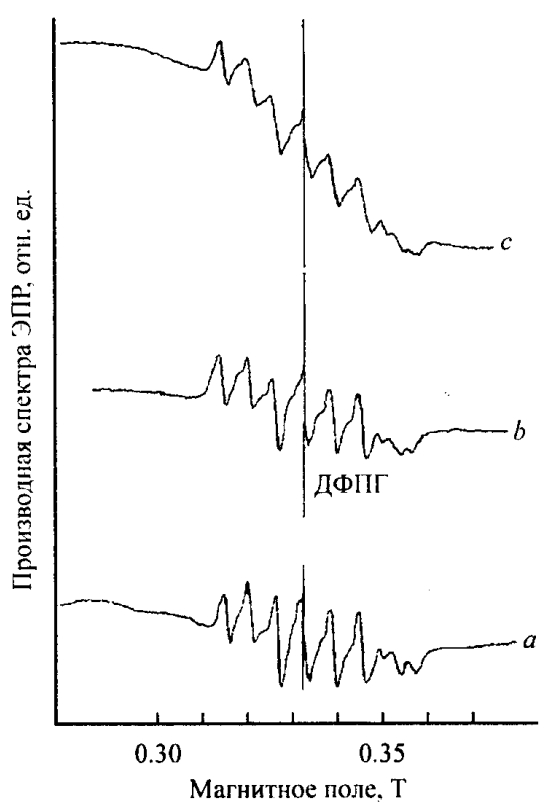


Рис. 2. Спектры ЭПР твердых растворов  $\text{La}_{1-x-y}\text{Ba}_{0.33y}\text{Mn}_x\text{Al}_{1-y}\text{O}_3$  ( $T = 300$  К) концентрации марганца, мол. дол.:  $y = 0.02$  (a),  $y = 0.04$  (b),  $y = 0.10$  (c).

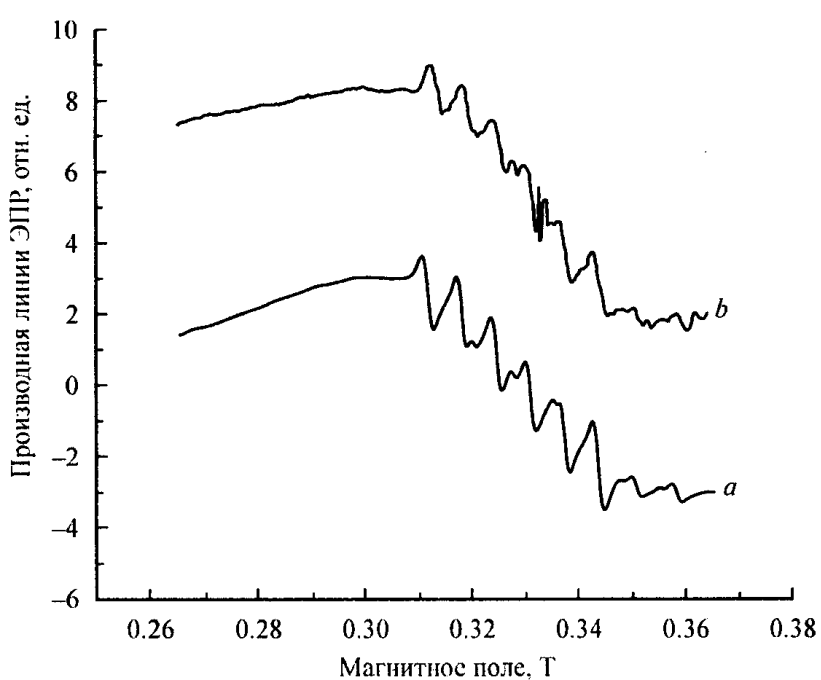


Рис. 3. Спектры ЭПР образца  $\text{La}_{1-x-y}\text{Ba}_{0.33y}\text{Mn}_x\text{Al}_{1-y}\text{O}_3$  ( $y = 0.02$ ): симулированный для ионов  $\text{Mn}^{2+}$  и  $\text{Mn}^{4+}$  (a), экспериментальный ( $T = 77$  К) (b).

**Значения параметров спин-гамильтониана ионов  $Mn^{2+}$ ,  $Mn^{4+}$   
для  $y = 0.02$ , а также параметры линии, принадлежащей кластерам  $Mn^{4+}—Mn^{3+}$**

Парамагнитные центры	$T$ , К	$\Delta H \cdot 10^4$ , Т	$g$	$A \cdot 10^4$ , Т	$D \cdot 10^4$ , Т	$E \cdot 10^4$ , Т
$Mn^{2+}$	77	10	2.04	64	—	—
$S = 1/2$	300	10	2.02	67	—	—
$Mn^{4+}$	77	10	1.97	76	300	100
$S = 3/2$	300	15	1.98	63	300	70
$Mn$	77	500	2.0	70	—	—
$S = 1/2$	300	1000	2.0	70	—	—

Примечание. В расчетах спектров ЭПР  $Mn^{2+}$  и линии ЭПР, принадлежащей кластерам, используется эффективный спин ( $S = 1/2$ ).

кристаллического поля,  $I$  — ядерный спин  $^{55}\text{Mn}$ , а  $I_i$  — его компоненты ( $i = x, y, z$ ),  $A_i$  — диагональные компоненты тензора сверхтонкого взаимодействия ( $i = x, y, z$ ).

$Mn^{2+}$  является  $S$ -ионом ( $d^5, L = 0$ ) и его  $g$ -фактор близок к чисто спиновому значению 2.0023, тогда как  $Mn^{4+}$  обладает орбитальным моментом ( $d^3, L = 3$ ) и его  $g$ -фактор существенно меньше чисто спинового значения, что позволяет выделить в спектре ЭПР линии, принадлежащие разным валентным состояниям Mn.

Расчет экспериментальных спектров для образца с  $x = 0.02$  для  $T = 77$  К и  $T = 300$  К с помощью программы WIN-EPR показывает, что вышеупомянутые спектры представляют собой перекрывание трех спектров: парамагнитного спектра, принадлежащего иону  $Mn^{2+}$  (спектр I), парамагнитного спектра, принадлежащего иону  $Mn^{4+}$  (спектр II), и широкой линии с неразрешенной СТС, принадлежащей кластерам ионов Mn, спектры которых характеризуются константами, представленными в таблице. Относительная интенсивность линий ЭПР  $Mn^{4+}$  составляет 40 % от интенсивности линий ЭПР  $Mn^{2+}$  при  $T = 77$  К и несколько увеличивается с температурой.

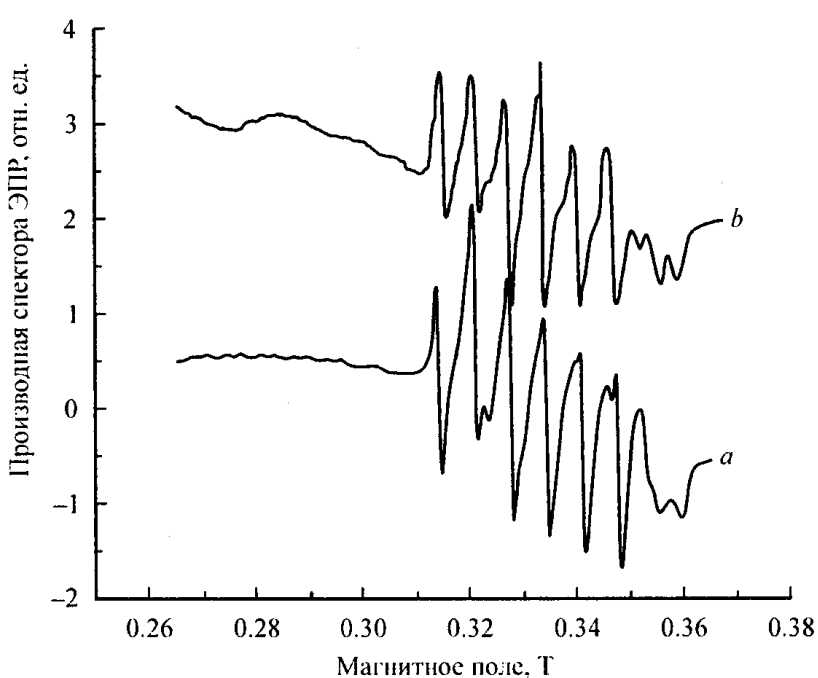


Рис. 4. Спектры ЭПР образца  $La_{1-x}Ba_xMn_1-yAl_{1-y}O_3$  ( $y = 0.02$ ): симулированный для ионов  $Mn^{2+}$  и  $Mn^{4+}$  (a), экспериментальный ( $T = 300$  К) (b).

Ионы  $Mn^{2+}$  наиболее вероятно находятся на положении замещения  $Al^{3+}$ , а локализованные ионы  $Mn^{4+}$  — на положении  $Al^{3+}$ , но с ионами  $Mn^{3+}$  и  $Ba^{2+}$  в непосредственной близости. Спектры  $Mn^{2+}$  с неразрешенной СТС наиболее вероятно принадлежат кластерам  $Mn^{4+}—Mn^{3+}$ .

Для расчета спектра ЭПР иона  $Mn^{4+}$  использовался спин  $S = 3/2$ , так как в спектре были обнаружены дополнительные линии, соответствующие этому спину. В то же время для  $Mn^{2+}$  и для широкой линии с неразрешенной сверхтонкой структурой использовался эффективный спин  $S = 1/2$  (вместо  $S = 5/2$  для  $Mn^{2+}$ ), так как наблюдается только одна линия ЭПР вблизи  $g = 2.0$ . Как мы уже отмечали в [11], такой спектр ЭПР может быть связан либо с сильным кристаллическим полем, когда все возможные переходы не наблюдаются, либо со слабым полем ( $D < 200 \cdot 10^{-4}$  Т), когда все возможные в ЭПР для порошков линии расположены вблизи  $g = 2.0$  и скрыты вследствие большой индивидуальной ширины линий ЭПР и, следовательно, наблюдается одна широкая линия ЭПР.

**Обсуждение результатов.** В нашей предыдущей статье [11] было показано, что в парамагнитной области ( $T > T_C$ ) значение  $\mu_{\text{эф}}$  для иона  $Mn^{4+}$ , определенное из ЭПР спектра при  $T = 300$  К для образцов  $La_{1 - 0.33}Sr_{0.33}Mn_yAl_{1 - y}O_3$  с  $y = 0.015$  ( $y$  — концентрация Mn), свидетельствует о присутствии ферромагнитных взаимодействий. Этот факт приписывался образованию кластеров  $Mn^{4+}—Mn^{3+}$ . Интенсивность широкой линии ЭПР возрастала с ростом параметра  $y$ , что означает увеличение числа кластеров. Увеличение числа ионов  $Mn^{4+}$  должно вызывать усиление ферромагнитных взаимодействий благодаря усилию двойного обмена за счет «прыжков дырки» от  $Mn^{4+}$  к  $Mn^{3+}$ , связанных между собой посредством  $O^{2-}$  ( $Mn^{3+}—O^{2-}—Mn^{4+}$ ), при этом проводимость становится металлической.

Двойной обмен зависит от угла между локализованными спинами и длин связей между ними через кислород. В соединении  $LaMnO_3$  в цепи  $Mn^{3+}—O^{2-}—Mn^{3+}$  имеет место смесь полуковалентной и ионной связей в пределах плоскости Mn—O (слабый ферромагнетик), а в поперечной плоскости имеет место полуковалентная связь (антиферромагнетик  $A$ -типа). В то же время в  $CaMnO_3$ ,  $SrMnO_3$  в цепи  $Mn^{4+}—O^{2-}—Mn^{4+}$  имеет место полуковалентная связь и взаимодействие ионов марганца антиферромагнитное (типа  $G$ ) с каждым ионом Mn внутри и вне плоскости Mn—O [4].

Для образцов  $La_{1 - 0.33}Ba_{0.33}Mn_yAl_{1 - y}O_3$  с  $y = 0.1, 0.04, 0.02$  из сравнения спектров ЭПР, записанных при 77 К и 300 К, можно видеть, что ширина и интенсивность линии ЭПР с неразрешенной СТС значительно больше при  $T = 300$  К. Результат существенно отличается от ситуации, обнаруженной для  $La_{1 - 0.33}Sr_{0.33}Mn_yAl_{1 - y}O_3$  с  $y = 0.03, 0.08, 1.5$ , где ширина линии, принадлежащей кластерам Mn, значительно меньше как для  $T = 77$  К, так и для  $T = 300$  К. Существенное увеличение ширины линий ЭПР с неразрешенной СТС при 77 К в  $La_{1 - 0.33}Ba_{0.33}Mn_yAl_{1 - y}O_3$  по сравнению с  $La_{1 - 0.33}Sr_{0.33}Mn_yAl_{1 - y}O_3$  может быть связано с увеличением числа ионов Mn в кластере и, соответственно, величины внутренних обменных полей в кластере. Авторы публикации [13] также сообщают об образовании больших ферромагнитных кластеров  $Mn^{4+}—Mn^{3+}$  в  $La_{1 - 0.33}Ba_{0.33}Mn_yAl_{1 - y}O_3$ , а также более интенсивном увеличении магнитного момента при низких температурах, причем, это увеличение немонотонное, что предполагает возможность локальных фазовых переходов в ферромагнитных кластерах при  $T < 120$  К.

**Заключение.** Ион  $Ba^{2+}$  ( $R_{Ba} = 1.74$  Å) имеет по сравнению с ионом  $La^{2+}$  ( $R_{La} = 1.46$  Å) больший ионный радиус [2], а ионные радиусы  $Sr^{2+}$  и  $Al^{3+}$  имеют соответствующие значения 1.44 и 0.535 Å, поэтому можно предположить, что расстояния La (Ba)—O, Mn—O будут увеличиваться, а углы Mn—O—Mn отклонятся от  $180^\circ$ , что окажет влияние на взаимодействия между магнитными ионами. Например, для  $La_{0.67}Sr_{0.33}MnO_3$  этот угол составляет  $\sim 158^\circ$ , а для состава с Ba должен быть еще меньше. Решетка вряд ли претерпит существенные изменения при разбавлении иона-

ми алюминия магнитной подрешетки ионов марганца ( $3+$ ) вследствие близости их ионных радиусов (0.535 и 0.645 Å соответственно). В предыдущей публикации [11] мы показали, анализируя спектры ЭПР и величину эффективного магнитного момента ионов  $Mn^{4+}$  и  $Mn^{2+}$ , что при низкой концентрации ( $y = 0.015$ ) ионов марганца и при  $T = 300$  К образуются ферромагнитно взаимодействующие кластеры  $Mn^{4+}$ — $Mn^{3+}$ .

В изученных образцах, где  $La^{3+}$  частично замещен на  $Ba^{2+}$  ( $x = 0.33$ ), при температуре 77 К ионы марганца в изолированном состоянии прослеживаются лишь при низкой концентрации  $Mn$  ( $y = 0.02$ ), а при  $y = 0.04$  и 0.10 количество кластеров существенно возрастает, чему соответствует преобладание широкой линии ( $\Delta H_{pp} = 500 \cdot 10^{-4}$  Т). При температуре 300 К наблюдаемые спектры ЭПР свидетельствуют о существовании при трех концентрациях марганца локализованных состояний ионов марганца наряду с наличием кластеров (широкая линия присутствует также). Таким образом, в исследованных образцах по сравнению с твердыми растворами со стронцием в области низких температур ферромагнитные взаимодействия существеннее, возможно, более интенсивно идет образование кластеров типа  $Mn^{3+}$ — $Mn^{4+}$ — $Mn^{3+}$ , включающих достаточно много ионов марганца, а в области  $T = 300$  К, видимо, наступает разупорядочение и образование локализованных состояний.

Следует отметить, что существенная разница в спектрах ЭПР образцов  $La_{1 - 0.33}Ba_{0.33}Mn_yAl_{1 - y}O_3$  и  $La_{1 - 0.33}Sr_{0.33}Mn_yAl_{1 - y}O_3$ , а также в спектрах ЭПР  $LaAl_{1 - x}Mn_xO_3$  [14] ясно указывает на то, что в состав  $Mn$ -содержащих кластеров входят также ионы  $Ba$  и  $Sr$ , соответственно, модифицирующие магнитные свойства этих кластеров. Таким образом, даже при достаточно сильном разбавлении в таких системах кластеры сохраняют «память» об исходных концентрированных соединениях,  $La_{0.67}Ba_{0.33}MnO_3$  и  $La_{0.67}Sr_{0.33}MnO_3$  соответственно.

Уширение линий ЭПР в кластерах марганца связано с ферромагнитным взаимодействием между ионами марганца, которое приводит к возникновению внутренних магнитных полей. Распределение величины этих полей на различных положениях иона  $Mn$  приводит к уширению линии ЭПР, связанной с кластером. Увеличение ширины линий ЭПР с повышением температуры в парамагнитной области мanganитов может быть связано также с эффектами разупорядочения в структуре вследствие большего разброса параметров СГ относительно средних значений, как показано в [15]. Уширение индивидуальных линий СТС в  $Ba^{2+}$ -содержащих мanganитах по сравнению со  $Sr$ -содержащими мanganитами, возможно, обусловлено более существенным вкладом эффектов разупорядочения в  $Ba^{2+}$ -содержащих мanganитах вследствие большего ионного радиуса бария. Здесь, по-видимому, следует говорить о распределении параметров кристаллического поля от одного кластера к другому, так как сам кластер состоит из небольшого числа атомов. Увеличение ширины линий кластеров может быть также обусловлено спиновой динамикой, связанной с переворотом спинов при прыжках поляронов от  $Mn^{4+}$  к  $Mn^{3+}$  [16]. Данные по магнитной восприимчивости твердых растворов  $La_{0.67}Ba_{0.33}Mn_yO_3$  [13] подтверждают данные ЭПР и также говорят о возможном частичном сохранении магнитных свойств концентрированного соединения  $La_{0.67}Ba_{0.33}MnO_3$  даже для малых кластеров, растворенных в  $LaAlO_3$ . Отметим также, что спектры ЭПР  $Mn$  в  $LaAlO_3$  существенно отличаются от спектров, обнаруженных в  $La_{1 - 0.33}Ba_{0.33}Mn_yAl_{1 - y}O_3$  и в  $La_{1 - 0.33}Sr_{0.33}MnAl_{1 - y}O_3$  [11], что свидетельствует о влиянии ионов  $Ba$ ,  $Sr$  даже при значительном разбавлении. Особенно это касается спектра ионов  $Mn^{4+}$ , которые здесь находятся в ромбическом окружении, и поэтому СТ секстет линий  $Mn^{4+}$  смешен относительно СТ секстета  $Mn^{2+}$ , т. е. в рассматриваемых разбавленных системах эти ионы находятся в разных структурных окружениях в отличие от  $LaAl_{1 - x}Mn_xO_3$  [15].

В заключение можно сказать, что в данной работе в твердых растворах  $La_{1 - 0.33}Ba_{0.33}Mn_yAl_{1 - y}O_3$  обнаружены локализованные ионы  $Mn^{2+}$  и  $Mn^{4+}$ , а также

ионы Mn, связанные в кластеры, и роль таких кластеров в данных растворах значительно больше, чем в  $\text{La}_{1-x}\text{Sr}_{0.33y}\text{Mn}_y\text{Al}_{1-y}\text{O}_3$ .

Авторы выражают признательность Н. В. Чежиной за предоставленные образцы и полезные обсуждения.

#### Список литературы

1. Autret C., Gervais M., Gervais F., Raimboux N., Simon P. Signature of ferromagnetism, antiferromagnetism, charge ordering and phase separation by electron paramagnetic resonance study in rare earth manganites  $\text{Ln}_{1-x}\text{A}_x\text{MnO}_3$  ( $\text{Ln}$  = rare earth, A = Ca, Sr) // Solid State Sci. 2004. V. 6. N 8. P. 815—824.
2. Richerson D. V. Modern ceramic engineering. 2nd ed. N. Y.: Dekker, 1992. P. 843.
3. Zutic I., Fabian J., Das Sarma S. Spintronics: Fundamentals and applications // Rev. Mod. Phys. 2004. V. 76. N 2. P. 323—410.
4. Chakraborty Amitava, Bhattacharya Dipen, Maiti H. S. Zero-field resistivity anomaly and low-field response of the canted antiferromagnetism in unsubstituted and Ba-substituted  $\text{LaMnO}_{3+\delta}$  within in the insulating regime // Phys. Rev. B. 1997. V. 56. N 14. P. 8828—8835.
5. Jonker G. N., van Santen J. H. Ferromagnetic compounds of manganese with perovskite structure // Physica. 1950. V. 16. N 3. P. 337—349.
6. Von Helmolt R., Haupt L., Bärner K., Sondermann U. Metal-semiconductor transition and spin-glass properties of  $\text{La}_{2-x/3}\text{Ba}_{1+x/3}\text{Mn}_{1-x}\text{Cu}_x\text{O}_3$  // Solid State Commun. 1992. V. 82. N 9. P. 693—696.
7. Shames A. I., Rozenberg E., Gorodetsky, Pellegg J., Chaudhuri B. K. Electron magnetic resonance study of polycrystalline  $\text{La}_{0.5}\text{Pb}_{0.5}\text{MnO}_3$  // Solid. State Commun. 1998. V. 107. N 3. P. 91—95.
8. Millis A. J., Littwood P. B., Shairman B. I. Double exchange alone does not explain the resistivity of  $\text{La}_{1-x}\text{Sr}_x\text{MnO}_3$  // Phys. Rev. Lett. 1995. V. 74. N 25. P. 5144—5147.
9. Millis A. J. Cooperative Jahn—Teller effect and electron-phonon coupling in  $\text{La}_{1-x}\text{A}_x\text{MnO}_3$  // Phys. Rev. B. 1996. V. 53. N 13. P. 8434—8441.
10. Овсянников Г. А., Петрэсик А. М., Борисенко И. В., Климов А. А., Игнатов Ю. А., Демидов В. В., Никитков С. А. Магнитно-транспортные характеристики напряженных эпитаксиальных мanganитных пленок  $\text{La}_{0.7}\text{Sr}_{0.3}\text{MnO}_3$  // ЖЭТФ. 2009. Т. 135. № 1. С. 56—64.
11. Андроненко С. И., Андроненко Р. Р., Загребельный О. А., Чежина Н. В. ЭПР соседнений системы  $\text{LaAlO}_3\text{—La}_{0.67}\text{Sr}_{0.33}\text{MnO}_3$  // Физ. и хим. стекла. 2009. Т. 35. № 6. С. 860—870.
12. Мейльман М. Л., Самойлович М. И. Введение в спектроскопию ЭПР активированных кристаллов. М.: Атомиздат, 1977. 67 с.
13. Чежина Н. В., Кузьмич М. В. Состояние атомов и межатомные взаимодействия в сложных перовскито-подобных оксидах. XVII. Магнитное разбавление в системе  $\text{La}_{0.67}\text{Ba}_{0.33}\text{MnO}_3\text{—LaAlO}_3$  // ЖХОХ. 2004. Т. 74. № 4. С. 535—538.
14. Cordishchi D., Faticanti M., Minelli G., Occhiuzzi M., Porta P.  $\text{LaAl}_{1-x}\text{Mn}_x\text{O}_3$  perovskite-type oxide solid solutions: structural, magnetic and electronic properties // Phys. Chem. Chem. Phys. 2003. V. 5. N 7. P. 1467—1473.
15. Huber D. L., Alejandro G., Caneiro A., Causa M. T., Prado F., Tovar M., Oseroff S. B. EPR linewidths in  $\text{La}_{1-x}\text{Ca}_x\text{MnO}_3$ :  $0 < x < 1$  // Phys. Rev. B. 1999. V. 60. N 17. P. 12 155—12 161.
16. Shengelaya A., Zhao G.-M., Keller H., Muller K. A., Kochelaev B. I. EPR in  $\text{La}_{1-x}\text{Ca}_x\text{MnO}_3$ : Relaxation and bottleneck // Phys. Rev. B. 2000. V. 61. N 9. P. 5888—5890.